

**EKO-CONNECT**

LABORATORIUM BADAWCZE PÓL ELEKTROMAGNETYCZNYCH

EKO-Connect Sp. z o.o.

60-591 POZNAŃ, ul. MIODOWA 14A

Tel. 790 200 181

Tel. 790 004 761

e-mail: laboratorium@eko-connect.pl

AB 1810

SPRAWOZDANIE NR OS/1045/24

Z POMIARÓW NATĘŻENIA PÓL ELEKTROMAGNETYCZNYCH

WYKONANYCH DLA CELÓW OCHRONY ŚRODOWISKA

Miejsce wykonania badania:	LBC7502A	
	37-625 Krowica Hołodowska, dz. nr 997, pow. lubaczowski, woj. PODKARPACKIE	
Współrzędne geograficzne:	50°06'37.99"N 23°13'40.26"E	
Data wykonania pomiarów:	10.12.2024	
Data wydania sprawozdania:	10.12.2024	
Zleceniodawca:	P4 sp. z o.o. ul. Wynalazek 1 02-667 Warszawa	
Sprawozdanie wykonał:	Sprawdził:	Autoryzował:
inż. Monika Gendera Specjalista ds. analiz i wizualizacji wyników	mgr inż. Maciej Konieczny Kierownik Laboratorium	mgr inż. Wojciech Lubiński Kierownik ds. jakości

1. INFORMACJE O UŻYTKOWNIKU ¹

- Zleceniodawca: P4 sp. z o.o. ul. Wynalazek 1, 02-667 Warszawa
- Typ obiekt: Instalacja radiokomunikacyjna zainstalowana na wieży kratowej
- Numer obiektu: LBC7502A
- Adres obiektu: 37-625 Krowica Hołodowska, dz. nr 997, pow. lubaczowski, woj. PODKARPACIE
- Współrzędne geograficzne: 50°06'37.99"N 23°13'40.26"E

2. CHARAKTERYSTYKA ŹRÓDEŁ PEM ¹

Tabela 1. Parametry systemu nadawczo-odbiorczego

Charakterystyka promieniowania				kierunkowa					
Rzeczywisty czas pracy [h/dobę]				Całodobowa 24h					
Warunki pracy				Znamionowe					
Rodzaj wytwarzanego pola				stacjonarne					
Lp.	Typ nadajnika	Antena Producent / Typ	Azymut [°]	Wysokość środka elektr. anteny [m n.p.t.]	Pasma [Mhz]	Kąt nachylenia [°]	EIRP dla anteny [W]	LON	LAT
1	RBS6xxx/2xxx/4xxx	Huawei ATR4518R6	110	53	900	0 - 10	18081	23°13'40.26"E	50°06'37.99"N
	1800				0 - 10	23°13'40.26"E		50°06'37.99"N	
	2100				0 - 10	23°13'40.26"E		50°06'37.99"N	
2	RBS6xxx/2xxx/4xxx	Huawei A264518R0	110	53,4	2600	0 - 12	5200	23°13'40.26"E	50°06'37.99"N
3	RBS6xxx/2xxx/4xxx	Huawei A264518R0	110	53,4	2600	0 - 12	5200	23°13'40.26"E	50°06'37.99"N
4	RBS6xxx/2xxx/4xxx	Huawei ATR4518R6	190	53	900	0 - 10	18081	23°13'40.26"E	50°06'37.99"N
	1800				0 - 10	23°13'40.26"E		50°06'37.99"N	
	2100				0 - 10	23°13'40.26"E		50°06'37.99"N	
5	RBS6xxx/2xxx/4xxx	Huawei A264518R0	190	53,4	2600	0 - 12	5200	23°13'40.26"E	50°06'37.99"N
6	RBS6xxx/2xxx/4xxx	Huawei A264518R0	190	53,4	2600	0 - 12	5200	23°13'40.26"E	50°06'37.99"N
7	RBS6xxx/2xxx/4xxx	Huawei ATR4518R6	310	53	900	0 - 10	18081	23°13'40.26"E	50°06'37.99"N
	1800				0 - 10	23°13'40.26"E		50°06'37.99"N	
	2100				0 - 10	23°13'40.26"E		50°06'37.99"N	
8	RBS6xxx/2xxx/4xxx	Huawei A264518R0	310	53,4	2600	0 - 12	5200	23°13'40.26"E	50°06'37.99"N
9	RBS6xxx/2xxx/4xxx	Huawei A264518R0	310	53,4	2600	0 - 12	5200	23°13'40.26"E	50°06'37.99"N

¹ Dane pozyskane od Klienta

Tabela 2. Parametry radiolinii

Charakterystyka promieniowania				kierunkowa					
Rzeczywisty czas pracy [h/dobę]				24					
Rodzaj wytwarzanego pola				stacjonarne					
Lp.	Linia radiowa			Antena					
	Typ nadajnika	Częstotliwość pracy [GHz]	Moc wyjściowa [dBm]	Typ/producent	Średnica anteny [m]	Azymut [°]	Wysokość zainstal. [m]	LON	LAT
1	MINI-LINK/ERICSSON	13	30	0.6-13 (ANT3 B 0.6 13 HP/HPX)	0,6	335	51	23°13'40.26"E	50°06'37.99"N

Inne źródła PEM: W obszarze pomiarowym badanego obiektu **występują** inne źródła promieniowania pola elektromagnetycznego, które w zakresie badanych częstotliwości bezpośrednio wpływają na wynik wartości mierzonej natężenia pola.

3. OPIS POMIARÓW

Cel badań: Sprawdzenie dotrzymania dopuszczalnych poziomów pól elektromagnetycznych, w otoczeniu instalacji wytwarzających takie pola.

3.1. Data oraz warunki pomiarów

Data pomiarów	Godzina		Opady	Temperatura [C]		Wilgotność [%]	
	rozpoczęcia pomiarów	zakończenia pomiarów		Minimalna	Maksymalna	Minimalna	Maksymalna
10.12.2024	14:00	15:30	Brak	0,6	0,8	74,0	74,4

3.2. Aparatura pomiarowa:

Tabela 3. Opis zestawu pomiarowego

Nazwa	Typ/model	Numer fabryczny/SN	Świadectwo wzorcowania	Zastosowanie
Szerokopasmowy miernik natężenia pola elektromagnetycznego	NBM- 520	D-2228	LWiMP/W/157/24 z dnia 16.05.2024 (Laboratorium Wzorców i Metrologii Pola Elektromagnetycznego Instytutu Telekomunikacji, Teleinformatyki i Akustyki Politechniki Wrocławskiej)	Pomiary pola elektromagnetycznego
Sonda pomiarowa pola elektrycznego	EF-9091	A-0139		
Szerokopasmowy miernik natężenia pola elektromagnetycznego	NBM- 520	D-2187		
Sonda pomiarowa pola elektrycznego	EF-0691	J-0201		
Termohigrometr	Termioplus - S	SN 120823	586/2024 z dnia 01.03.2024 (Instytut Energetyki - Państwowy Instytut Badawczy)	Pomiary wilgotności względnej powietrza Pomiary temperatury powietrza
Odbiornik GPS	Garmin GLO2	1792A-A1156/5PS056463	-	Pomiar współrzędnych geograficznych

3.3. Wyznaczenie niepewności pomiarów:

Ocenę niepewności przyjmuje się zgodnie z procedurą stosowaną w laboratorium.

Wyznaczona rozszerzona niepewność pomiaru dla współczynnika rozszerzenia $k = 2$ dla zestawu pomiarowego z pkt.3.2 w dniu pomiaru wynosi 58,67%.

3.4. Kryteria przedstawiania stwierdzeń zgodności

Niniejsze sprawozdanie zgodnie z zasadami systemu akredytacji zawiera stwierdzenia zgodności.

W przypadku badań poziomów pola elektromagnetycznego w środowisku stwierdzenie zgodności dotyczy rozstrzygnięcia, czy zmierzona wartość opisująca pole elektromagnetyczne przekracza wartość dopuszczalną dla zakresu częstotliwości, w którym pracują źródła podaną w Rozporządzeniu Ministra Zdrowia z dnia 17 grudnia 2019 r. w sprawie dopuszczalnych poziomów pól elektromagnetycznych w środowisku (Dz. U. z 2019 r. poz. 2448).

3.5. Metodyka wykonania pomiarów:

Zastosowano metodę znormalizowaną w oparciu o Rozporządzenie Ministra Klimatu i Środowiska z dnia 6 maja 2022 r. zmieniające rozporządzenie w sprawie sposobów sprawdzania dotrzymania dopuszczalnych poziomów pól elektromagnetycznych w środowisku (Dz.U. 2022 poz. 1121).

3.6. Przepisy prawne:

- Ustawa z dnia 27 kwietnia 2001 r. Prawo ochrony środowiska (Dz.U. 2024 r. poz. 834).
- Rozporządzenie Ministra Zdrowia z dnia 17 grudnia 2019 r. w sprawie dopuszczalnych poziomów pól elektromagnetycznych w środowisku (Dz. U. z 2019 r. poz. 2448).
- Rozporządzenie Ministra Klimatu z dnia 17 lutego 2020 r. w sprawie sposobów sprawdzania dotrzymania dopuszczalnych poziomów pól elektromagnetycznych w środowisku Załącznik do obwieszczenia Ministra Klimatu i Środowiska z dnia 21 listopada 2022 r. (Dz. U. poz. 2630).

3.7. Opis pomiarów

Stacja bazowa LBC7502A usytuowana jest na wieży kratowej zlokalizowanej pod adresem 37-625 Krowica Hołodowska, dz. nr 997, pow. lubaczowski, woj. PODKARPACIE. Anteny i moduły RRU zamontowane są na antenowych konstrukcjach wsporczych a urządzenia są w szafie APM zainstalowanej u podnóża wieży. W otoczeniu stacji zlokalizowana jest zabudowa jednorodzinna oraz pola uprawne. Analiza parametrów technicznych wykazała, że urządzenia nadawcze stacji pracują w paśmie częstotliwości zgodnie z tabelą 1 oraz tabelą 2. Moc wyjściowa nadajników doprowadzona jest do anten przy pomocy ekranowanych fiderów.

Pomiary w otoczeniu stacji bazowej wykonano wzdłuż kierunków maksymalnego zasięgu oddziaływania pola elektromagnetycznego na kierunkach osi głównych wiązek anten sektorowych do odległości określonej zgodnie z wytycznymi zawartymi w instrukcji wykonywania pomiarów, podczas rzeczywistej pracy urządzeń wytwarzających pola elektromagnetyczne.

Pomiary wykonano dla średniego pochylecia wiązki liczonego jako średnia arytmetyczna z minimalnej i maksymalnej wartości stosowanego lub planowanego kąta pochylecia. Średnie wartości tilt ustawiane są przez Klienta. W przypadku, gdy na danym azymucie zainstalowano kilka anten, średnia wartości tilt ustawiona jest jednakowa dla wszystkich anten. Przyjmuje się najgorszą wartość spośród anten zainstalowanych na danym kierunku.

Pomiary w przyjętych pionach pomiarowych wykonano w punktach położonych na wysokościach od 0,3 m do 2,0 m nad powierzchnią ziemi lub nad innymi powierzchniami, na których mogą przebywać ludzie, przyjmując za wynik pomiaru maksymalny poziom natężenie pól elektromagnetycznego.

Pomiary wykonano w dodatkowych pionach pomiarowych w lokalach oraz na balkonach i tarasach, na których mogą przebywać ludzie, po poinformowaniu o planowanych pomiarach z minimum 3-dniowym wyprzedzeniem i po umożliwieniu dostępu do lokalu, balkonu lub tarasu przez jego dysponenta lub bez zachowania terminu wskazanego w pierwszej części zdania za zgodą dysponenta przestrzeni pomiarowej.

Punkty pomiarowe wewnątrz budynków oraz na tarasach/balkonach wyznaczono na podstawie przeprowadzonych obliczeń rozkładu pola elektromagnetycznego. Jako wartość graniczną do wyznaczenia odległości zasięgu pola elektromagnetycznego przyjęto wartość 9 V/m. Jest to wartość wypadkowa po uwzględnieniu współczynników odpowiadającym emisji z obcych źródeł promieniowania elektromagnetycznego oraz efekt odbicia fal radiowych. Obliczenia te wykonywane są uwzględniając parametry systemu antenowego dostarczone przez Klienta, W tym obszarze pomiary w budynkach wykonywane są obligatoryjnie. Jeżeli w ww. obszarze nie zlokalizowano żadnych budynków dodatkowo wyznaczono reprezentatywne budynki, wewnątrz których wykonano dodatkowe pomocnicze punkty pomiarowe.

Przy doborze pionów pomiarowych uwzględniono charakter i sposób zagospodarowania terenu otaczającego stację bazową.

3.8. Sposób identyfikacji widma częstotliwości:

Parametry stacji bazowej uzyskane od właściciela instalacji stacji bazowej.

4. WYNIKI POMIARÓW

Wyniki pomiarów ważne są jedynie dla danej konfiguracji urządzeń w dniu, w którym wykonano pomiary.

Wynik pomiaru, to maksymalna wartości chwilowa zmierzona w danym pionie pomiarowym powiększona o rozszerzoną niepewność pomiaru U dla współczynnika rozszerzenia $k = 2$ (dla poziomu ufności 95%).

Tabela 4. Dopuszczalne poziomy pól elektromagnetycznych

Parametr fizyczny Zakres częstotliwości pola elektromagnetycznego	Składowa elektryczna	Składowa magnetyczna
od 400 MHz do 2000 MHz	$1,375 \times f^{0,5}$ V/m	$0,00375 \times f^{0,5}$ A/m
Od 2 GHz do 300 GHz	61 V/m	0,16 A/m

Do wyznaczania wartości wskaźnikowych WM_E i WM_H przyjęto najniższe wartości dopuszczalne poziomów pól elektromagnetycznych w/w zakresów częstotliwości.

Tabela 5. Wyniki pomiarów

Nr pionu	Opis miejsca pomiaru	Pomiar wewnątrz pomieszczenia	Współrzędne geograficzne		Wynik poniżej progu detekcji*	E_p [V/m]	U [V/m]	$E_p + U$ [V/m]	H [A/m]	WM_E	WM_H	Przekroczenie wartości dopuszczalnej
			[°] E	[°] N								
1	Poziom gruntu - Główny kierunek pomiarowy anteny sektorowej azymut 110st	NIE	23,228527323	50,110450159	NIE	0,90	0,53	1,43	0,004	0,05	0,051	nie przekracza
2	Poziom gruntu - Główny kierunek pomiarowy anteny sektorowej azymut 110st	NIE	23,230286393	50,110056375	NIE	7,21	4,24	11,45	0,030	0,41	0,410	nie przekracza
3	Poziom gruntu - Główny kierunek pomiarowy anteny sektorowej azymut 110st	NIE	23,232421330	50,109566440	NIE	0,82	0,49	1,31	0,003	0,05	0,047	nie przekracza
4	Poziom gruntu - Główny kierunek pomiarowy anteny sektorowej azymut 190st	NIE	23,227373886	50,109866003	TAK	<0,80	0,47	1,27	0,003	0,05	0,046	nie przekracza
5	Poziom gruntu - Główny kierunek pomiarowy anteny sektorowej azymut 190st	NIE	23,227057999	50,108608581	TAK	<0,80	0,47	1,27	0,003	0,05	0,046	nie przekracza
6	Poziom gruntu - Główny kierunek pomiarowy anteny sektorowej azymut 190st	NIE	23,226674193	50,107452514	TAK	<0,80	0,47	1,27	0,003	0,05	0,046	nie przekracza
7	Poziom gruntu - Główny kierunek pomiarowy anteny sektorowej azymut 310st	NIE	23,226475256	50,111299554	NIE	0,82	0,49	1,31	0,003	0,05	0,047	nie przekracza
8	Poziom gruntu - Główny kierunek pomiarowy anteny sektorowej azymut 310st	NIE	23,225200526	50,111955781	TAK	<0,80	0,47	1,27	0,003	0,05	0,046	nie przekracza

Nr pionu	Opis miejsca pomiaru	Pomiar wewnątrz pomieszczenia	Współrzędne geograficzne		Wynik poniżej progu detekcji*	E_p [V/m]	U [V/m]	$E_p + U$ [V/m]	H [A/m]	WM _E	WM _H	Przekroczenie wartości dopuszczalnej
			[°] E	[°] N								
9	Poziom gruntu - Główny kierunek pomiarowy anteny sektorowej azymut 310st	NIE	23,223713224	50,112817496	NIE	0,82	0,49	1,31	0,003	0,05	0,047	nie przekracza
10	Poziom gruntu - Główny kierunek pomiarowy anteny radioliniowej azymut 335st	NIE	23,226959681	50,111562045	TAK	<0,80	0,47	1,27	0,003	0,05	0,046	nie przekracza
11	Poziom gruntu - Główny kierunek pomiarowy anteny radioliniowej azymut 335st	NIE	23,227326378	50,111070758	TAK	<0,80	0,47	1,27	0,003	0,05	0,046	nie przekracza

Objaśnienia:

$$E_p: E_{poprawne} = E_{wskazane} * C_{d(E)} * C_{f(f)}$$

$E_{wskazane}$ - zmierzona maksymalna wartość chwilowa natężenia pola elektrycznego

$C_{d(E)}$ – charakterystyka dynamiczna sondy – zgodna ze świadectwem wzorcowania

$C_{f(f)}$ – charakterystyka częstotliwościowa sondy – zgodna ze świadectwem wzorcowania

H – wyznaczona wartość natężenia pola magnetycznego z uwzględnieniem współczynnika korekcyjnego oraz rozszerzonej niepewności pomiaru.

WM_E - wartość wskaźnikowa poziomu oddziaływania pól elektromagnetycznych dla miejsc dostępnych dla ludności dla składowej elektrycznej pola.

WM_H - wartość wskaźnikowa poziomu oddziaływania pól elektromagnetycznych dla miejsc dostępnych dla ludności dla składowej magnetycznej pola.

* Wynik poniżej progu detekcji - wartość zmierzona poniżej zakresu akredytacji. Do obliczeń przyjęto wartość zgodną z dolną granicą akredytowanego zakresu pomiarowego metody.

Piony pomiarowe wewnątrz budynków oraz na tarasach/balkonach wyznaczono na podstawie przeprowadzonych obliczeń rozkładu pola elektromagnetycznego zgodnie z wewnętrznymi procedurami laboratorium.

* * - Brak dostępu

5. WNIOSKI

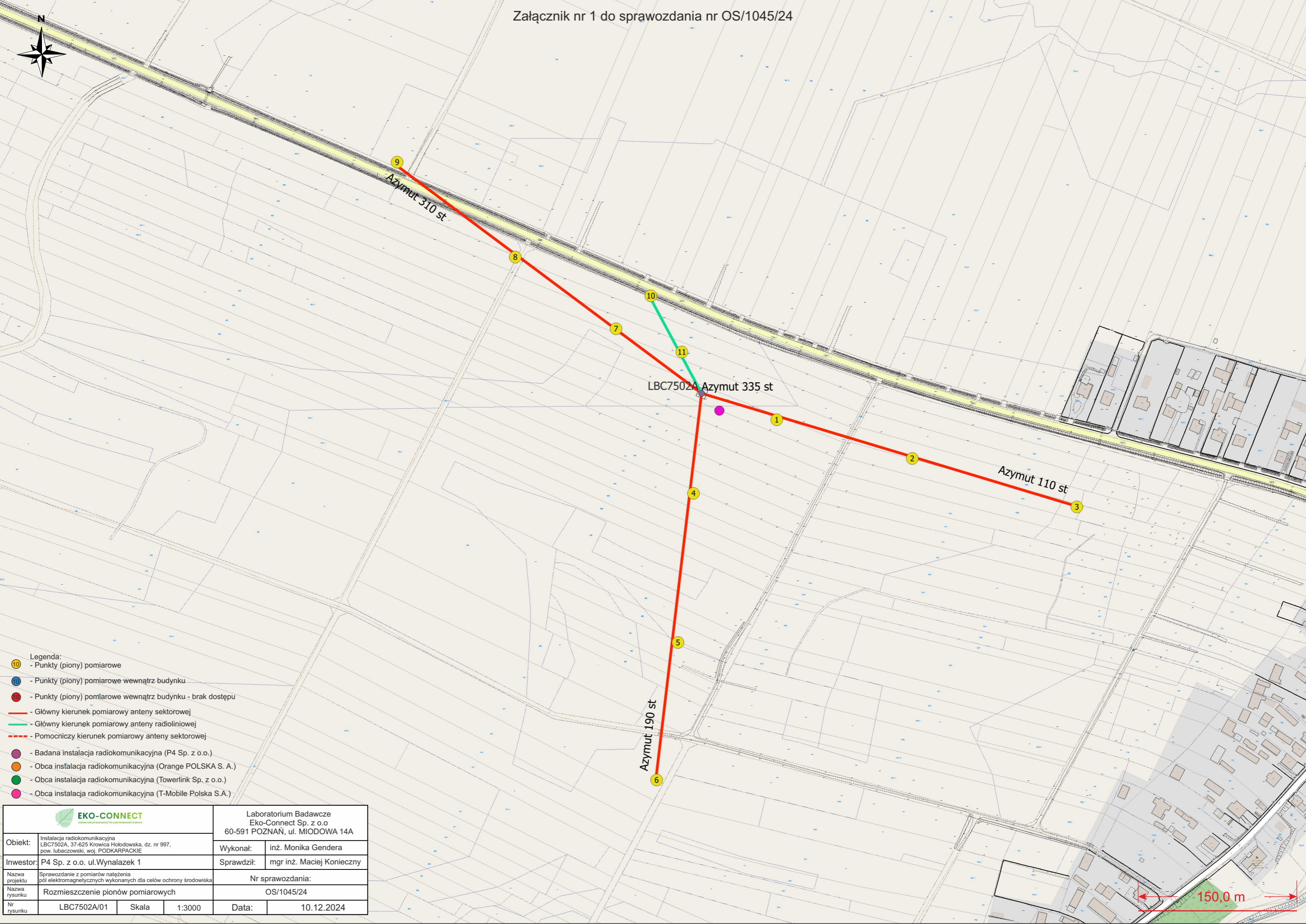
Stwierdza się, iż na podstawie uzyskanych wyników pomiarów i informacji uzyskanych od operatora, w otoczeniu stacji bazowej telefonii komórkowej LBC7502A w miejscach dostępnych dla ludności, w których dokonano pomiaru, nie zostały przekroczone wartości graniczne poziomów pól elektromagnetycznych określonych w Rozporządzeniu Ministra Zdrowia z dnia 17 grudnia 2019 r. w sprawie dopuszczalnych poziomów pól elektromagnetycznych w środowisku (Dz. U. z 2019 r. poz. 2448).

Stwierdzenie zgodności zostało przedstawione na podstawie wyników badań oraz informacji uzyskanych od Klienta (za które Laboratorium nie ponosi odpowiedzialności) dla instalacji opisanej w punkcie 2. Stwierdzenia zgodności dokonano na podstawie zasady podejmowania decyzji i wymagań zawartych w załączniku do Rozporządzenia Ministra Klimatu z dnia 17 lutego 2020 r. w sprawie sposobów sprawdzania dotrzymania dopuszczalnych poziomów pól elektromagnetycznych w środowisku (Dz.U. 2022 poz. 2630 z 15.12.2022r.).

- Sprawozdanie zawiera 9 stron
- Załączniki: nr 1 – mapa z rozmieszczeniem pionów pomiarowych wokół obiektu
- Otrzymują:
 1. Zleceniodawca: - 1 egz.
 2. a / a: 1 egz.

Bez pisemnego zezwolenia laboratorium Eko-Connect Sp. z o.o. sprawozdanie nie może być powielane inaczej, jak tylko w całości.

KONIEC SPRAWOZDANIA



- Legenda:
- - Punkty (piony) pomiarowe
 - - Punkty (piony) pomiarowe wewnątrz budynku
 - - Punkty (piony) pomiarowe wewnątrz budynku - brak dostępu
 - - Główny kierunek pomiarowy anteny sektorowej
 - - Główny kierunek pomiarowy anteny radioliniowej
 - - - - Pomocniczy kierunek pomiarowy anteny sektorowej
 - - Badana instalacja radiokomunikacyjna (P4 Sp. z o.o.)
 - - Obca instalacja radiokomunikacyjna (Orange POLSKA S. A.)
 - - Obca instalacja radiokomunikacyjna (Towerlink Sp. z o.o.)
 - - Obca instalacja radiokomunikacyjna (T-Mobile Polska S.A.)

		Laboratorium Badawcze Eko-Connect Sp. z o.o 60-591 POZNAŃ, ul. MIODOWA 14A	
		Wykonał: inż. Monika Gendera	Sprawdził: mgr inż. Maciej Konieczny
Obiekt: Instalacja radiokomunikacyjna LBC7502A, 37-625 Krowica Hołodowska, dz. nr 997, pow. lubaczowski, woj. PODKARPACKIE	Inwestor: P4 Sp. z o.o. ul. Wynałazek 1		
Nazwa projektu: Sprawozdanie z pomiarów natężenia pól elektromagnetycznych wykonanych dla celów ochrony środowiska	Nr sprawozdania: OS/1045/24		
Nazwa rysunku: Rozmieszczenie pionów pomiarowych	Data: 10.12.2024		
Nr rysunku: LBC7502A/01	Skala: 1:3000		

150,0 m